

## ارایه الگوریتم نوین طراحی توأم با مدل سازی و ارزیابی مقایسه ای برای سیستم های مرکب پیل سوختی تولید مجدد

حسین قدمیان<sup>۱</sup>

فریده عتابی<sup>۱</sup>

حسنعلی ازگلی<sup>۲\*</sup>

تاریخ پذیرش: ۸۶/۴/۲

تاریخ دریافت: ۸۶/۲/۱۵

چکیده

سیستم پیل سوختی تولید مجدد Regenerative Fuel Cell از گروه سیستم های مستقیم تبدیل انرژی به عنوان یک سیستم ذخیره-تولید انرژی نوین مطرح است. این سیستم یک ساختار مرکب شامل زیرسیستم های الکتروولیز / پیل سوختی می باشد که مولد آن سیستم فتوولتائیک خورشیدی است. به عبارت ساده مولکول های آب در فرآیند الکتروولیز به مولکول های هیدروژن و اکسیژن تجزیه می شود و گازهای حاصل در مخازن فشار بالا ذخیره می گردد، سپس گاز هیدروژن به عنوان سوخت (حامل انرژی) وارد پیل سوختی شده و تولید انرژی الکتریکی می نماید. نتایج حاصل از محاسبات، مدل سازی و طراحی مهندسی نشان می دهد، تغییر وضعیت حامل انرژی از وضعیت الکتریکی به احتراق سرد شیمیایی در بخش پیل سوختی به منزله تولید انرژی داخلی در سیستم بوده و به میزان قابل ملاحظه ای نرخ شدت انرژی تولیدی و ضریب عملکرد سیستم را افزایش می دهد. زیرا با اتصال سیستم فتوولتائیک به واحد های الکتروولیز / پیل سوختی و با استفاده از انرژی تولید شده در بخش فتوولتائیک، برای سیستم نمونه با ظرفیت  $1\text{ kW}$  تولید انرژی داخلی به میزان  $2\text{ kW}$  تولید می شود و همچنین به تبع آن میزان انرژی تولیدی در مجموعه RFC / افزایش یافته و بازده کلی سیستم به میزان  $45\% / 29\%$  خواهد بود.

در این تحقیق عملکرد عمومی سیستم و زیر سیستم های مربوط و مطالعات طرفیتی مورد بررسی قرار گرفته و با استفاده از فرمولاسیون الکتروولیز، پیل سوختی و سلول های فتوولتائیک به صورت جداگانه، مدل سازی با الگوریتم های غیرخطی انجام شده و به کمک نرم افزار GAMS انتگراسیون این سیستم ها صورت گرفته است. همچنین با انجام یک نمونه موردنی مطالعاتی، راهکارها به منظور محاسبه و طراحی گام به گام سیستم های پیل سوختی تولید مجدد، ارایه شده است.

**واژه های کلیدی:** پیل سوختی تولید مجدد، مدل سازی و انتگراسیون، سلول های فتوولتائیک، الکتروولیز، چگالی توان، نرم افزار

GAMS

۱- استادیار، دانشکده محیط زیست و انرژی، دانشگاه آزاد اسلامی، واحد علوم و تحقیقات تهران.

۲- کارشناس ارشد مهندسی انرژی، دانشکده محیط زیست و انرژی، دانشگاه آزاد اسلامی ، واحد علوم و تحقیقات تهران \* (مسئول مکاتبات).

## مقدمه

می‌آید. از جمله این کاربردها می‌توان به فعالیت‌های نظامی و صنایع هوای فضا اشاره نمود.

همچنین، تولید انرژی پیوسته و پایدار با نرخ متغیر از ویژگی‌ها و مزایای عده‌ای این نوع سیستم‌ها به شمار می‌آید و این موضوع برتری استفاده از سیستم RFC را در مقایسه با سیستم‌های باتری‌های قابل شارژ به اثبات می‌رساند و جذابیت استفاده از این سیستم را در میان مصرف‌کنندگان افزایش می‌بخشد.(۳) و (۴)

### اساس عملکرد سیستم‌های RFC

در پیل‌های سوختی تولید مجدد آب به عنوان خوراک وارد سیستم الکتروولیز شده و در آن جا به اکسیژن و هیدروژن تجزیه می‌شود. مولکول‌های اکسیژن وارد محیط (یا در صورت لزوم ذخیره) شده و مولکول‌های هیدروژن در یک مخزن ذخیره می‌شوند. سپس هیدروژن ذخیره شده در مخزن وارد پیل سوختی گردیده و در آن جا هیدروژن روند تولید انرژی الکتریکی را طی می‌کند و در نهایت آب به عنوان محصول واکنش تولید گردیده و از پیل خارج می‌شود و از آن می‌توان در تعذیه مجدد الکتروولیز استفاده نمود. یکی از دلایل عدم استفاده از سیستم ذخیره برای اکسیژن کنترل نرخ تولید انرژی در پیل سوختی توسط سوخت هیدروژن و عدم کفایت حجم اکسیژن تولیدی از الکتروولیز (بازدهی یا نقص در سیستم الکتروولیز) و پر هزینه بودن ذخیره سازی اکسیژن می‌باشد.(۵).

**استفاده از انرژی خورشیدی برای تأمین انرژی الکتروولیز**  
الکتروولیز آب برای انجام فرآیند جداسازی اکسیژن و هیدروژن نیازمند یک حامل انرژی خارجی حتی امکان به صورت انرژی الکتریکی می‌باشد. در الکترولایزهایی که به طور منفرد عمل می‌کنند این انرژی الکتریکی توسط شبکه سراسری برق یا باطری‌ها تأمین می‌گردد. اما در پیل‌های سوختی تولید مجدد، انرژی مورد نیاز جهت جداسازی اکسیژن و هیدروژن در الکتروولیز از انرژی‌های طبیعی قابل تبدیل به انرژی الکتریکی

پیل سوختی<sup>۱</sup> یکی از انواع فن آوری‌های نوین است که از درجه سازگاری مناسبی با محیط زیست برخوردار می‌باشد. از آن جا که عمل تبدیل انرژی در آن با بازدهی بالا صورت می‌پذیرد، لذا می‌باشد در مرحله نخست بخش طراحی در دو گونه انتگراسیون و طراحی جزئیات به اندازه کافی توسعه یافته و سپس مراحل مونتاژ و ساخت که در زمرة فن آوری‌های پیچیده است تحقق یابد، بنابراین به نظر می‌رسد که در قرن بیست و یکم و با توجه به پیشرفت سریع فن آوری آن‌ها، جانشینی مناسب برای فرآیندهای احترافی سوخت‌های فسیلی در سیستم‌های تولید پراکنده انرژی باشد.(۱) و (۲).

به طور کلی یکی از مهم‌ترین مشکلات مطرح در فن آوری پیل سوختی، تأمین سوخت مورد نیاز آن است. از آن جا که در اغلب پیل‌های سوختی ساخته شده، از هیدروژن به عنوان سوخت استفاده می‌شود و تولید هیدروژن، ذخیره سازی و حمل و نقل آن برای استفاده در پیل‌های سوختی با دشواری هایی روبرو است، در برخی از موارد بهره‌گیری از این فن آوری امکان پذیر نمی‌باشد.

پیل‌های سوختی تولید مجدد (RFC) با هدف رفع چالش تأمین سوخت هیدروژن، با ترکیب یک واحد پیل سوختی و یک واحد الکتروولیز<sup>۲</sup> به راهکاری جدید جهت تأمین هیدروژن مورد نیاز پیل سوختی در مجموعه مولد انرژی تبدیل شده است. سیستم‌های RFC مولد قدرت هستند و واکنش‌دهنده‌هایشان را برای تولید جریان برق دوباره بازیابی می‌نمایند. این سیستم‌ها از چند لایه پیل که پشت سر هم به صورت سری بسته شده‌اند استفاده می‌کنند.(۳).

پیل‌های سوختی RFC مناسب برای کاربردهایی است که از منابع تأمین سوخت دور هستند و یا امکان سوخت‌گیری در فواصل زمانی کوتاه برای آن‌ها میسر نمی‌باشد و در ضمن برای استفاده در کاربردهایی که به نسبت تولید انرژی به جرم حساس هستند انتخاب بسیار مناسبی به شمار

1- Fuel Cell (FC)

2- Electrolysis (EL)

### • پیل سوتی

- ۱- انتخاب ظرفیت پیل سوتی با توجه به میزان انرژی مورد نیاز
- ۲- محاسبه تعداد سلول های پیل و شدت جریان stack و سایر مشخصه های فنی پیل سوتی با توجه به بازده آن
- ۳- محاسبه دبی جرمی هیدروژن مورد نیاز (به عنوان سوت و روغن)

### • الکترولیز

- ۱- محاسبه اختلاف پتانسیل لازم جهت الکترولیز آب، با توجه به بازگشت ناپذیری های حاصل از افت ولتاژ
- ۲- محاسبه بازده الکترولیز در سناریوهای مختلف در شرایط نظری و واقعی

### • آرایه های P.V.

- ۱- محاسبه سطح سلول های P.V. به منظور تولید انرژی الکتریکی مورد نیاز الکترولیز در شرایط ایده آل (با محاسبه سطح سلول های P.V. در حالت کلی و بدون نصب و بهره گیری از حداکثر میزان نرخ تابش خورشیدی).
- ۲- محاسبه سطح سلول های P.V. در شرایط واقعی (با محاسبه سطح مازول استاندارد و در نظر گرفتن میزان نرخ تابش خورشیدی برای منطقه مورد نظر). مزایای بهره گیری از این الگوریتم نوین ارایه شده عبارت است از :
  ۱. قابلیت انجام محاسبات طراحی مهندسی به صورت سیستم های منفرد و جداگانه برای هر واحد.
  ۲. برقرار نمودن ارتباط منطقی میان اجزای سه گانه سیستم و مشخص نمودن پارامترهای اصلی طراحی برای طراحان در مقطع فاز صفر طراحی.

تأمین می گردد(۲۶). در این میان انرژی خورشیدی و استفاده از سیستم های فتوولتائیک اصلی ترین و قابل توجیه ترین شکل انرژی برای استفاده در RFC ها می باشد. پانل های خورشیدی قرار گرفته در مجموعه RFC ها وظیفه تبدیل انرژی خورشیدی به انرژی الکتریکی را برای انجام فرآیند جداسازی در الکترولیز بر عهده دارد. سیستم ذخیره انرژی توسط پیل سوتی / الکترولیز جایگزین باتری های خورشیدی ذخیره کننده برق خواهد بود، به نحوی که این سیستم از یک الکترولیز PEM<sup>۱</sup>، مخازن فشار بالای اکسیژن و هیدروژن و پیل سوتی PEM برای یک چرخه بسته آب طراحی و ساخته شده است.

آزمایش هایی به منظور دست یابی به امکان پذیری استفاده از این نوع سیستم ها، مشخصات کارآیی الکترولیز(شامل میزان برق مصرفی برای عمل جدایش در هر سطح معین از الکترولیز)، بازده الکترولیز و میزان ارزش و سودمندی استفاده از آرایه های فتوولتائیک (P.V.)<sup>۲</sup> انجام شده است. نتایج نشان می دهد با به کارگیری آرایه P.V. در سیستم RFC، سیستم از قابلیت اطمینان بالایی برخوردار بوده و اثرات سوء زیست محیطی آن نیز به حداقل خواهد رسید(۴ و ۵).

### الگوریتم طراحی سیستم های RFC

به طور کلی دیدگاه مهندسی در طراحی سیستم های مرکب متشکل از واحدهای مجزا، در واقع ایجاد ارتباط و ترکیب عناصر منفرد آن است، به نحوی که طراحی سیستم مرکب و ارایه الگوریتم طراحی مناسب جهت دستیابی به هدف اصلی طراحی و انگراسیون سیستم مرکب محقق گردد. الگوریتم طراحی سیستم RFC ارایه شده در این تحقیق شامل پیل سوتی، الکترولیز و سلول های P.V. به شرح ذیل می باشد:

- 
- 1- Proton Exchange Memberane
  - 2- Photovoltaic

## RFC فرمو لاسیون و عملکرد کلی سیستم های

#### ۱- محاسبه ولتاژ تولید شده در هر سلول پیل سوختی

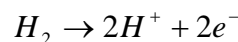
در سیستم های RFC غالباً اکسیژن و هیدروژن بیش از مقدار استوکیومتری آن مورد استفاده قرار می گیرد. این امر به ویژه در مورد اکسیژن (به هنگام استفاده از هوا) محسوس است. در صورت مصرف اکسیژن در حد استوکیومتری هوا خروجی از بیل عاری از اکسیژن باشد(۱) :

$$P_e = V_c \times I \times n \quad (1)$$

در صورت مشخص نبودن  $V_c$  می توان از مقدار  $V_C = 0.6 \approx 0.7 \text{volts}$  و یا با محاسبه  $\eta$  (بازده) از رابطه  $\eta = 0.95 \times \frac{V_c}{1.48}$  استفاده نمود (برای شرایط خاص که  $V_c$  تحت فشار است از مقدار  $0.7 \text{volts}$  بیشتر نباشد).

#### ۲- محاسبه جرم هیدروژن مورد نیاز در پیل سوختی

در پیل های سوختی مولکول های هیدروژن ( $H_2$ ) در آند قرار می گیرد و سپس با انجام واکنش زیر یون هیدروژن به کاتد رفته و با اکسیژن تشکیل آب می دهد و از طرفی الکترون های آزاد شده تولید جریان برق می کند:



با استفاده از عدد آوگادرو و بار الکتریکی هر الکترون، فرمول ذیل برای محاسبه تعداد مول‌های هیدروژن مورد نیاز برای تولید یک آمپر جریان الکتریکی در مدت یک ساعت در پیل های سوختی ارایه می‌گردد:

$$nH_2 = (1 \text{ A}) \left[ \frac{1 \text{ coulomb / sec}}{1 \text{ A}} \right] \left[ \frac{1 \text{ equivalence of } e^-}{96.487 \text{ coulombs}} \right]$$

$$\times \left[ \frac{1 \text{ g mol } H_2}{2 \text{ equiv of } e^-} \right] \left[ \frac{3600}{1 \text{ hr}} \right] = 0.018655 \frac{\text{gr.mol}}{\text{hr - A}} H_2$$

ذیل محسسہ می، گردد: ۵۵

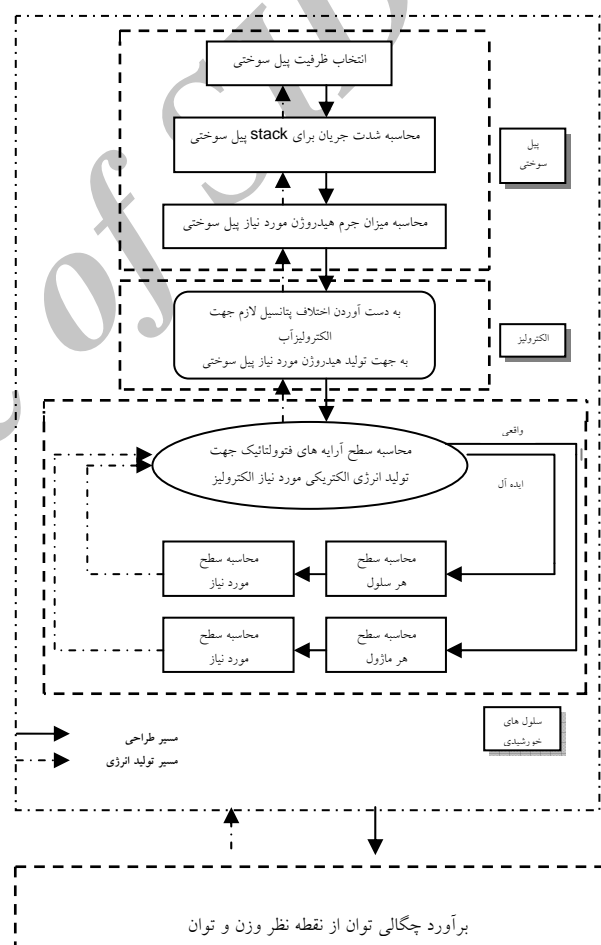
$$mH_2 = \left[ 0.018655 \frac{g.mol}{hr-A} H_2 \right] \left[ \frac{2.0158gr}{1g mol H_2} \right] \frac{1kg}{1000gr}$$

$$= 37.605 \times 10^{-6} \frac{kg H_2}{hr - A} = 0.037605 \frac{kg H_2}{hr - kA}$$

- ۳- امکان انجام ارزیابی سیستم تولید انرژی الکتریکی در بخش P.V به لحاظ ایده آل یا واقعی بودن به طور همزمان.

۴. سهولت در ایجاد تغییرات در هر یک از واحدهای سه گانه سیستم و زیر مجموعه های آن به منظور بررسی تأثیر اعمال تغییرات مورد نظر بر شدت انرژی و بازده کلی سیستم.

۵. نمایش معکوس بودن مسیر طراحی سیستم RFC نسبت به مسیر تولید انرژی.



## شکل ۱ - فلوچارت الگوریتم نوین طراحی پیشنهادی سیستم RFC

مدار باز هر سلول دارای  $V = 0.5$  و شدت تابش خورشید  $W/m^2 = 1000$  فرض شده است.

همچنین به منظور افزایش جریان ولتاژ، سلول‌ها به صورت مجموعه‌ای با اتصال‌های سری و موازی در یک واحد بزرگ‌تر به نام مازول نصب می‌گردند  
چنانچه کل توان دریافتی  $P_s$ ،  $A$  بیانگر سطح مفید سلول و  $P_t$  شدت تابش خورشید،  $V_{OC}$  ولتاژ مدار باز،  $I_{SC}$  شدت جریان اتصال کوتاه و  $FF$ . فاکتور پرکنندگی باشد، بازدهی سلول‌های خورشیدی به شرح فرمول ذیل محاسبه می‌گردد(۷) :

$$\eta = \frac{P_{max}}{P_t} = \frac{P_{max}}{P_s - A} = \frac{V_m I_m}{P_s - A} = \frac{V_{oc} I_{sc} FF}{P_s - A} \quad (3)$$

#### حل عددی یک نمونه مورد مطالعاتی

جهت تأمین انرژی یک سیستم آتنم مخابراتی (به عنوان یک رله تقویتی انتقال Data) که بسیار دور از شبکه انتقال برق و در بالاترین نقطه ارتفاعی منطقه می‌باشد، مقدار  $1 \text{ kW}$  انرژی مورد نیاز است. برای این منظور یک سیستم پیل سوختی تولید مجدد، برای تولید این میزان انرژی طراحی گردیده است. مراحل مختلف این طراحی در جدول ۱ ارایه شده است.

رابطه کمی بین  $\text{emf}$  (نیروی حرکه الکتریکی) و غلظت‌ها توسط معادله نرنست<sup>۲</sup> داده شده است. صورت کلی معادله نرنست برای شرایط فشار  $1 \text{ atm}$  و دمای  $25^\circ\text{C}$  چنین است(Q عبارت است از خارج قسمت واکنش)(۶) :

$$E = E^o - \frac{0.05916}{n} \log Q \quad (2)$$

**۳- محاسبه ولتاژ موردنیاز برای الکترولیز آب**  
طبق معادله نرنست میزان الکتریسیته مورد نیاز جهت انجام الکترولیز دو مول آب برابر است با (۶) :

$$E = E^o = \frac{(2.303)RT}{nF} \ln Q$$

$$E = -1.229 - \frac{(2.303) \times (8.314) \text{ kJ/kg.K} \times (29815)}{96487 \text{ Coulombs}} \ln \frac{[H]^2 [O_2]}{[H_2O]^2}$$

$$E = -1.229 \text{ V}$$

$2 H_2 O \rightarrow 2 H_2 + O_2$   
 $36 \text{ (gr)} \rightarrow 2(2) \text{ gr} + 32 \text{ (gr)}$   $E = 1.2 \text{ V}$   
 بنابراین از الکترولیز  $36 \text{ gr}$  آب  $4 \text{ gr}$  هیدروژن حاصل می‌شود و این عمل الکترولیز به حدود  $1/2$  ولت برق نیاز دارد.

**۴- محاسبه اختلاف پتانسیل تولید شده و سطح مورد نیاز در سلول‌های فتوولتائیک جهت تولید هیدروژن**

موردنیاز پیل سوختی کوچک‌ترین و اساسی‌ترین قسمت یک آرایه خورشیدی را سلول‌های خورشیدی تشکیل می‌دهند که در مقابل نور مانند یک باتری کوچک تولید برق می‌کنند. سطح این سلول‌ها تأثیری در میزان ولتاژ تولید شده توسط آن‌ها ندارد و شدت جریان در آن‌ها تابع مساحت سلول و شدت تشعشع خورشید می‌باشد.

فرضیات فی که مسایل پایه‌ای ساخت را تشکیل می‌دهد به شرح ذیل است:

ابعاد هر سلول  $mm \times mm = 100 \times 100$ ، و از جنس سیلیکون کریستالی در نظر گرفته شده است. دمای سلول‌ها  $25^\circ\text{C}$ ، ولتاژ

1- Electro Motive Force  
2- Nernst

### جدول ۱- عملیاتی کردن الگوریتم طراحی یک نمونه پیل سوختی با ظرفیت ۱ kW

مراحل	شرح	خلاصه معادلات	نتایج مرحله
گام اول (۱)	محاسبه ولتاژ هر سلول پیل سوختی	به طور معمول $\eta = \frac{V_c}{1.48} \times 0.95$ $\eta_{PEM} = 0.6$ $V_c = 0.6 - 0.7V$	به وسیله آزمون و خطا $V_c = 0.65V$
گام دوم (۲)	محاسبه تعداد سلول های پیل سوختی	در نظر می گیریم: $V_{OUT} = 225 V$ V = Number Of Cell/Cell Voltage	N = 347
گام سوم (۳)	محاسبه شدت جریان و جرم هیدروژن مورد نیاز پیل سوختی	Cell Power = Cell Voltage $\times \Sigma$ Current /Cell No. $I = \frac{P}{V}$ Cell Current = Stack Power / Cell Voltage $mH_2 = 1.05 \times 10^8 \times (P_e/V_c)$	$I = 1538A$ $I_{stack} = 4.43A$ $mH_2 = 0.05796 kg/hr$
گام چهارم (۴)	محاسبه الکتریسیته مورد نیاز الکترولیز	ایده آل واقعی : $H_2O \rightarrow H_2 + \frac{1}{2}O_2 + 1.22V$ $V_{real} \approx 1.3 - 1.4V_{ideal}$	$V_{ideal} = 17.38V$ $V_{Real} = 23.18V$
گام پنجم (۵)	محاسبه بازده الکترولیز	Current Efficiency % $= \frac{NL.H \times 96500}{I \times 3600 \times 22.4} \times 100$ Energy Efficiency $= \frac{1.48V}{V_{EL}} \times Current Efficiency \%$	Electrolysis Energetic Efficiency = 54.67%
گام ششم (۶)	محاسبه سطح سیستم فتوولتائیک	ایده آل : استفاده از سلول های P.V. در شرایط ایده آل واقعی : استفاده از مازول های استاندارد $\eta = \frac{V_{oc} \cdot I_{sc} \cdot FF}{P_s \cdot A_{cell}}$ $FF = \frac{V_m \cdot I_m}{V_{oc} \cdot I_{sc}}$	$A_{ideal} = 0.909m^2$ $A_{Real} = 1.68m^2$
گام هفتم (۷)	بالанс انرژی سیستم و محاسبه بازده	$E_{OUTT} = (E_{inT} + E_p) (\eta_{RFC})$ $\eta_{RFC} = \frac{E_{OUT}}{E_{in} + E_p}$	$\eta_{RFC} = 0.2945$ $E_{OUT (IDEAL)} = 963.6 W$ $E_{OUT (REAL)} = 999.5 W$

به لحاظ مشخصات فنی و عملیاتی با سیستم و مدل طراحی شده مقایسه شود. در جدول ۲ سه نمونه از این سیستم ها در مقایسه با سیستم مورد مطالعاتی تحقیق حاضر به تفصیل بیان شده است.

جدول نمونه های با ظرفیت بالا دارای توان خروجی در حد کیلو وات ( $kWt$ ) به منظور انجام ارزیابی مقایسه ای میان مدل های واقعی و مدل ارایه شده، ضروری است ظرفیت های مشابهی در حد کیلووات

جدول ۲ - مقایسه نمونه های ساخته شده سیستم های RFC با ظرفیت بالا (۹، ۱۰ و ۲)

RFC سیستم	مشخصات فنی سیستم
NASA (Helios)	<p>عرض بال : <math>247\text{ ft}</math></p> <p>ضخامت بال : <math>11/5\text{ in}</math></p> <p>مساحت بال : <math>1976\text{ ft}^2</math></p> <p>وزن خالص : <math>1322\text{ Ib}</math></p> <p>وزن غیر خالص : <math>2048\text{ Ib}</math></p> <p>P.V. : سیستم</p> <p>۶۲۱۲۰ عدد سلول فتوولتائیک با بازده٪۱۹</p> <p>ارتفاع پرواز = <math>50000\text{ ft}</math> واقعی و <math>7000\text{ ft}</math></p> <p>۱۴ عدد موتور <math>1/5\text{ kWt}</math> : نیروی محرکه PEMRFC : سیستم ذخیره انرژی</p> <p>دارای مخازن آب ، اکسیژن و هیدروژن جداگانه</p>
NASA Glenn Research Center QSS Group.Inc. Cleveland , Ohio	<p>توان استک پبل سوختی <math>5/25\text{ kW}</math></p> <p>نوع پبل سوختی PEMRFC</p> <p>ولتاژ پبل سوختی <math>52/5\text{ V}</math></p> <p>شدت جریان پبل سوختی <math>100\text{ A}</math></p> <p>توان استک الکتروولیز <math>15\text{ kW}</math></p> <p>نوع الکتروولیز PEMEL</p> <p>ولتاژ الکتروولیز <math>100\text{ V}</math></p> <p>شدت جریان الکتروولیز <math>150\text{ A}</math></p> <p>بیش از <math>60\text{ kWh}</math> : خروجی سیستم FRC</p>
Electronic Research Institute , Dokki, Giza, Egypt	<p>توان سیستم <math>2/24\text{ kW}</math></p> <p>ولتاژ پبل سوختی <math>72\text{ V}</math></p> <p>شدت جریان پبل سوختی <math>31\text{ A}</math></p> <p>ولتاژ الکتروولیز <math>7/1-1/9\text{ V}</math></p> <p>نوع پبل سوختی و الکتروولیز: PEMFC &amp; PEMEL</p>

سیستم نمونه مورد مطالعاتی در تحقیق حاضر	۱ kW : توان خروجی سیستم ۲۲۵ V : ولتاژ خروجی پیل سوختی ۴/۴۳ A : شدت جریان پیل سوختی ۲۳/۱۸ V : ولتاژ الکتروولیز نوع پیل سوختی و الکتروولیز: PEMFC & PEMEL
---	--

### برآورد چگالی توان سیستم‌های RFC از نقطه‌نظر تقابل وزن و توان

چگالی توان سیستم‌های URFC در حالت نظری بسیار بالاست. چگالی توان را از محاسبه میزان انرژی خروجی طی فواصل تخلیه به وسیله وزن کل سیستم‌های URFC به دست می‌آورند(۹).

$$\text{انرژی خروجی} = n V_d I_d t_d$$

اگر همه اجزای سیستم به جز واکنش دهنده‌ها بدون وزن درنظر گرفته شوند، چگالی توان به لحاظ نظری به شکل زیر نشان داده می‌شود:

$$\text{چگالی توان} = \frac{nV_d I_d t_d}{M_w}$$

سایر وزن‌ها در URFC شامل وزن مخازن ذخیره‌سازی آب، وزن استک URFC و وزن‌های تجهیزات جانبی می‌شود. بر این اساس چگالی توان از رابطه زیر محاسبه می‌شود :

$$\text{PowerOutput} = \frac{29762 (\text{W} \cdot \text{hr} / \text{kg})}{\left[ 1 + \frac{T_w}{M_w} + \frac{S_w}{M_w} + \frac{W_w}{M_w} + \frac{A_w}{M_w} \right]}$$

جزئیات محاسبات نمونه مطالعاتی مذکور به شرح ذیل می‌باشد:

### ملاحظات فرمولاسیون وزنی (چگالی توان)

در مورد فرمولاسیون سیستم‌های پیل سوختی تولید مجدد یکپارچه<sup>۱</sup> URFC از نقطه‌نظر وزنی نکات و برخی فرضیات زیر قابل ذکر می‌باشد:

۱- فرمولاسیون ارایه شده(۹) در رابطه با محاسبه چگالی توان است که تأثیرگذاری بسیاری در طراحی سیستم URFC دارد و سایر پارامترهای مؤثر در طراحی در این فرمولاسیون مد نظر قرار داده نشده است.

۲- این فرمولاسیون برای سیستم‌های URFC که Stack پیل سوختی و الکتروولیز درواقع واحد می‌باشند صادق بوده و این سیستم برخلاف RFC شامل تجهیزات جداگانه الکتروولیز و پیل سوختی نمی‌باشد. بنابراین سایر تجهیزات موجود در سیستم RFC و وزن آن‌ها در این فرمولاسیون لحاظ نشده‌اند. (وزن یک سیستم URFC تقریباً معادل  $URFC \cong PEM \text{ Stack} + Water Weight$

درنظر گرفته شده است).

۳- در این فرمولاسیون صرفاً به وزن تجهیزات اصلی مولد قدرت توجه شده است. و وزن تجهیزات دیگری همانند سیستم P.V.، کابل‌کشی، مبدل جریان درنظر گرفته نشده و بنابراین به دلیل نقصان موجود در فرمولاسیون عدم دسترسی به مقادیر وزنی تجهیزات جانبی سیستم RFC، در نمونه‌های موردنی تحقیق نیز صرفاً وزن تجهیزات اصلی سیستم RFC درنظر گرفته شده است.

1- Power Density

2- Unitized Regenerative Fuel Cell

### ب- گرداوری مدل اولیه و فرضیات مدل

هر مدلی شامل قسمت هایی چون تابع هدف، فرضیات مدل، نامعادلات محدودیت، پارامترها، متغیرهای مستقل ووابسته می باشد. با توجه به محاسبات انجام شده، قسمت های مدل به شرح آن چه در ادامه گفته می شود، ارایه می گردد:

#### ب-۱- تابع هدف<sup>۲</sup>

تابع هدف، تعیین حداقل سطح P.V. مورد نیاز سیستم در نظر گرفته شده است.

$$\text{Min Area} = ((1/\text{EFPV}) \times (1/\text{PS}) \times \text{VOC} \times \text{ISC} \times \text{FF})$$

که در آن EFPV بازده سیستم فتوولتائیک، PS شدت تابش خورشیدی، VOC ولتاژ مدار باز، ISC شدت جریان اتصال کوتاه و FF فاکتور پرکندگی می باشد.

#### ب-۲) فرضیات مدل

شامل فرضیات فیزیکی و محدودیت های بُعد فنی قضیه به شرح ذیل می باشد:

۱- در سناریوی اول حل مدل فرض شده است که پیل سوختی PEM دارای هیچ گونه افت ولتاژی نبوده و به صورت ایده آل فنی عمل می نماید. در سناریوی دوم حل مدل، با توجه به مدل ارایه شده در خصوص افت ولتاژ پیل های سوختی PEM(۵) و با استفاده از محاسبات مدل مذکور، مدل جدیدی با در نظر گرفتن افت ولتاژ پیل سوختی ارایه شده است که در نهایت برای هر دو مدل فوق، سطح مازول های P.V. در سیستم RFC بهینه سازی گردیده است.

۲) بازده الکتروولیز اشاره شده در سیستم مذکور، برای عملکرد شرایط واقعی، با در نظر گرفتن جرم هیدروژن مورد نیاز ایده آل پیل سوختی در طی عملیات مدل سازی، ثابت در نظر گرفته شده است.

$$\text{PowerDensity} = \frac{\text{OutputEnergy}}{\text{TotalWeight}} = \frac{29762 V_d}{M_w}$$

$$3660(\text{W.hr}/\text{kg}) = \frac{29672 \times 1.239(\text{W.hr})}{x(\text{kg})} \Rightarrow M_w = 1\text{kg}$$

$$\Rightarrow \text{OutputEnergy} = 3660 \text{ W.hr}$$

$$\text{PowerOutput} = \frac{29762 (\text{W.hr/kg})}{\left[ 1 + \frac{T_w}{M_w} + \frac{S_w}{M_w} + \frac{W_w}{M_w} + \frac{A_w}{M_w} \right]}$$

$$\frac{T_w}{M_w} = 3.28 \times 10^{-5} RT \Rightarrow \frac{T_w}{M_w} = 3.28 \times 10^{-5}$$

$$\times (84.78 \text{ kg.cm}^3 / \text{cm}^2 \cdot \text{gmolK}) \times 300K$$

$$\Rightarrow \frac{T_w}{M_w} = 0.83$$

$$\frac{S_w}{M_w} = \frac{2976 V_d}{t_d \cdot (\text{powerdensity})} = 1$$

$$\frac{W_w}{M_w} = \frac{1710 MOP_w}{K_w}, K_w = \frac{1.5 MOP_w \cdot V_w}{W_w}$$

$$\frac{W_w}{M_w} = 1$$

$$\frac{A_w}{M_w} = 0.679$$

$$\Rightarrow \text{PowerDensity} = \frac{2976 V_d}{[1 + 0.83 + 1 + 1 + 0.679]}$$

با فرض :

$$811 \text{ W.hr/kg} \approx \text{چگالی توام واقعی} \Rightarrow$$

انتگراسیون سیستم های سه گانه و مدل سازی با نرم

افزار

#### الف- کلیات اجرای مدل

روند طراحی بهینه در پنج بخش شامل موارد ذیل می باشد:

۱. گرداوری اطلاعات اولیه و شناخت کل سیستم
۲. تعیین پاسخ اولیه سیستم بهینه
۳. تشکیل تابع هدف و محدودیت های فیزیکی، ساختاری جهت حل مسئله
۴. ساده کردن مدل
۵. حل مدل به کمک تکنیک های برنامه ریزی ریاضی از طریق نرم افزارهایی چون GAMS<sup>۱</sup> و Matlab .

۴- ولتاژ خروجی سیستم  $V_O = 225V$  فرض شده است.

۵- فاکتور پرکنندگی (F.F) برای سلول های P.V کریستالی مقدار  $0.73/0$  محاسبه شده و در فرآیند مدل سازی ثابت در نظر گرفته می شود.

۶- بازده سلول های فتوولتائیک کریستالی انتخابی، بر حسب مشخصات فنی آن ها  $0.14/0$  در نظر گرفته شده است.

۷- ضریب اطمینان (SF) طراحی سیستم از نقطه نظر میزان الکتریسیتۀ مورد نیاز الکتروولیز جهت تجزیۀ آب و تولید هیدروژن مورد نیاز پیل سوختی و تولید آن توسط سیستم های فتوولتائیک، به میزان  $1/41$  محاسبه گردیده و ثابت در نظر گرفته می شود.

#### ب-۵- متغیر های مستقل مدل

متغیرهای مستقل مربوط به EFFC (بازده پیل سوختی ISC) و PEM (شدت جریان اتصال کوتاه مازول P.V) در نظر گرفته شده اند.

#### ب-۶- متغیرهای وابسته

متغیرهای وابسته در مدل سناریوی ۱، وابسته به متغیرهای مستقل به شرح ذیل می باشد:

ولتاژیک سلول پیل سوختی (V)

$$(VC) = 1.48(EFFC) / 0.95$$

$$(I) = PO/VC$$

$$(N) = VO/VC$$

دبی جرمی هیدروژن مورد نیاز پیل سوختی (kg/h)

$$(MH) = I \times 0.000037605$$

دبی جرمی اکسیژن تولید شده (kg/h)

$$(MO) = (1/3600) \times$$

$$(1/VC) \times PO \times 0.000829 \times 1000$$

دبی جرمی آب تولید شده در پیل سوختی (kg/h)

$$(MW) = (1/4) \times MH \times 36$$

ولتاژ مورد نیاز الکتروولیز به دست آمده از فرمول اولیه (V)

$$(VEL1) = (1/4) \times MH \times VELR \times 1000$$

ولتاژ مورد نیاز الکتروولیز به دست آمده از فرمول بازده (V)

$$(VEL2) = VEL1/EFEL$$

#### ب-۳- نامعادلات محدودیت در مدل

۱. ولتاژ تولید شده در هر سلول پیل سوختی  $0.6 \leq V_C \leq 0.7$  PEM در نظر گرفته می شود(۲) که در شرایط ایده آل مقدار  $0.7$  جهت ادامۀ مسیر طراحی در نظر گرفته شده است.

۲- با توجه به نوع مازول کریستالی P.V استفاده شده در مورد مطالعاتی و با توجه به آنکه، میزان شدت جریان اتصال کوتاه در مازول برای دو حالت کمینه و بیشینه قابل دستیابی می باشد، لذا حد بالا و حد پایین شدت جریان اتصال کوتاه به صورت زیر می باشد(۷):

$$3.45A \leq I_{SC} \leq 6.9A \quad (4)$$

۳- محدودۀ بازده پیل های سوختی PEM به صورت  $0.35 \leq \eta_{FC} \leq 0.6$  مشخص گردیده و در حل مدل به صورت یکی از نامعادلات قید، مطرح گردیده است.

۴- براساس نتایج تجربی به دست آمده جهت الکتروولیز (VELR) PEM آب حدود ولتاژ مورد نیاز الکتروولیز (VEL) جهت تجزیۀ یک مول گرم آب در شرایط واقعی مطابق رابطه زیر در نظر گرفته می شود(۸):

$$1.6V \leq V_{EL} \leq 1.8V \quad (5)$$

#### ب-۴- پارامترهای مدل

به منظور کاهش متغیرها در مدل RFC پارامترهایی که دارای مقادیر ثابت بوده و تغییرات آن ها در تابع هدف تأثیر چندانی نداشته باشد، به شرح ذیل در نظر گرفته شده اند:

۱- توان خروجی(ظرفیت تولید انرژی) سیستم (PO)،  $1 \text{ kW}$  در نظر گرفته شده است.

۲- میزان شدت تابش خورشیدی مقدار

$$\text{ثابت } P_s = 650W/m^2 \text{ فرض شده است}(7)$$

۳- بازده الکتروولیز (EFEL) محاسبه شده،  $\eta_{el} = 0.5467$  می باشد که ثابت در نظر گرفته می شود.

عنوان مقداری ثابت در حل مدل سیستم RFC در نظر گرفته شده و میزان بهینه سازی شده سطح سلول های فتوولتائیک مورد نیاز با احتساب افت های ولتاژ در پیل سوختی به دست آمده است.

#### ج- حل مدل به وسیله نرم افزار GAMS

مدل های محاسبه شده در مراحل ، به منظور تعیین پاسخ های دقیق، توسط نرم افزار GAMS مورد تحلیل قرار گرفته و با استفاده از این نرم افزار و انجام آنالیز برنامه ریزی ریاضی، به کمک محاسبه گر CONOPT، نقطه بهینه طراحی مدل عرضه شده برای سیستم RFC محاسبه گردیده است. نتایج حاصل از حل نرم افزاری در جدول های شماره (۳ و ۴) نشان داده شده است.

جدول ۳- اجرای نرم افزار GAMS برای سناریوی ۱

	LOWER	LEVEL	UPPER
VAR AREA	-INF	۱/۴۰۵	+INF
VAR N	.	۲۹۴/۵۰۳	+INF
VAR I	.	۱۳۰۸/۹۰۱	+INF
VAR ISC	.	۳/۴۵۰	+INF
VAR VOC	.	۵۰/۷۷۹	+INF
VAR EP	.	۱۹۵۴/۸۹۱	+INF
VAR VEL1	.	۱۹/۶۸۸	+INF
VAR VEL2	.	۳۶/۰۱۳	+INF
VAR VEL3	.	۵۰/۷۷۹	+INF
VAR MH	.	۰/۰۴۹	+INF
VAR MO	.	۰/۳۰۱	+INF
VAR MW	.	۰/۴۴۳	+INF
VAR KCPH	.	۱۶۸۰/۹۰۴	+INF
VAR KJPH	.	۷۰۳۷/۶۰۹	+INF

ولتاژ مورد نیاز الکترولیز به دست آمده از ضریب اینمی (V)

$$(VEL3)= VEL2 \times SF$$

(KCall/h) انرژی داخلی تولید شده در سیستم

$$(KCPH)=(1/2.0) \times (MH \times 68.3) \times 1000$$

(kJ/h) انرژی داخلی تولید شده در سیستم

$$(KJPH)= KCPH \times 4.1868$$

انرژی داخلی تولید شده در سیستم (W)

$$(EP)=(1/3600.0) \times KJPH \times 1000$$

نکته قابل توجه در ارایه مدل آن است که کلیه متغیرهای وابسته و مستقل، مثبت می باشند به جز متغیر تابع هدف (AREA) که از نوع متغیر آزاد است.

مدل سناریوی ۲ با در نظر گرفتن افت ولتاژ پیل سوختی PEM ارایه گردیده است. در این مدل تابع هدف، توان کل خروجی پیل سوختی PEM است که مقدار آن بر مبنای رابطه کلی  $P = VI$  محاسبه گردیده است(۱و۵) ولتاژ سلول پیل سوختی و  $I$  شدت جریان سلول). به منظور لحاظ نمودن افت ولتاژ سلول به هنگام محاسبات، مقدادری به دست آمده برای افت های اکتیواسیون، عبور غیر مجاز سوخت، اهمی و انتقال جرم یا کاهش غلظت توسط یک رابطه تحت عنوان فرمول کلی بازگشت ناپذیری ها در ولتاژ (محاسبه جمع کل افت ها) از میزان  $V$  تابع هدف کسر گردیده است. بنابراین به منظور بهره گیری از مدل محاسبه ولتاژ سلول و به دست آوردن سطح  $P.V$  مورد نیاز سیستم RFC تغییری در این مدل داده شد. برای این منظور با در نظر گرفتن متغیری به نام  $V_C$  در مدل، رابطه ای برای به دست آوردن ولتاژ سلول ( $V_C$ ) به معادلات اضافه گردیده و ولتاژ سلول از کسر نمودن افت های عبور غیر مجاز سوخت، اهمی و انتقال جرم از مقدار  $V$  محاسباتی پیل سوختی محاسبه شده است.

بنابراین در مدل شماره ۲ به جای محاسبه  $V_C$  در معادلات

مربوط، از مقدار  $V_C$  به دست آمده در مدل تغییر یافته محاسبه

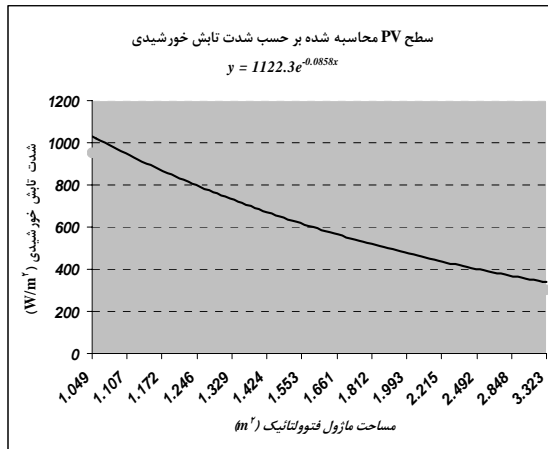
ولتاژ سلول (با در نظر گرفتن افت های ولتاژ)  $0/764 V$

استفاده شده است. از آن جا که در مدل تغییر یافته محاسبه

ولتاژ سلول، میزان  $V_C$  به طور دقیق برای هر سلول پیل

سوختی محاسبه شده است، لذا آن در قسمت پارامترها و به

همچنین، به منظور نمایش دقیق‌تر تغییرات حاصل در میزان سطح آرایه‌های خورشیدی مورد نیاز سیستم RFC و با استفاده از جدول، منحنی تغییرات مساحت مازول فتوولتائیک بر حسب شدت تابش خورشیدی رسم شده است که در شکل ۲ نشان داده شده است.



شکل ۲- منحنی تغییرات سطح مازول فتوولتائیک بر حسب شدت تابش خورشیدی از سناریوی اول

همان‌گونه که از شکل مشخص است، میزان شدت تابش خورشیدی با مقدار سطح مورد نیاز سلول‌های فتوولتائیک نسبت عکس دارد. همچنین به ازای مقادیر شدت تابش خورشیدی متوسط (مناطق دارای شرایط آب و هوایی معتمد و پرجمعیت) کاهش یا افزایش شدت تابش خورشیدی با نرخ کم موجب تغییرات اندکی در سطوح P.V. مورد نیاز RFC می‌گردد. اما در شرایط آب و هوایی بسیار گرم یا بسیار سرد، با تغییر اندکی در میزان شدت تابش خورشیدی، سطح سلول‌های فتوولتائیک مورد نیاز سیستم با نرخ قابل ملاحظه‌ای کاهش یا افزایش می‌یابند.

### ۲-۱۱- تحلیل مدل سناریوی دوم

مقدار  $V_C$  حاصل از محاسبه ولتاژ سلول (بر مبنای آزمایشات تجربی و مطالعات فنی پیل‌های سوختی PEM) از میزان  $V_C$  فرض شده در مدل سناریوی اول بیشتر بوده و بنابراین مقادیر به دست آمده برای نقطه بهینه طراحی در مدل

جدول ۴- اجرای نرم افزار GAMS برای سناریوی ۲

	LOWER	LEVEL	UPPER
VAR AREA	-INF	۱/۷۸۶	+INF
VAR N	-INF	۳۲۱/۴۲۹	+INF
VAR I	-INF	۱۴۲۸/۵۷	+INF
VAR VC	-INF	۰/۷۰۰	+INF
VAR ISC	-INF	۳/۴۵۰	
VAR VOC	-INF	۵۵/۴۲۱	+INF
VAR EP	-INF	۲۱۳۳/۶۲۴	+INF
VAR VEL1	-INF	۲۱/۴۸۹	+INF
VAR VEL2	-INF	۳۹/۳۰۶	+INF
VAR VEL3	-INF	۵۵/۴۲۱	+INF
VAR EFFC	-INF	۰/۴۴۹	+INF
VAR MH	-INF	۰/۰۵۴	+INF
VAR MO	-INF	۰/۳۲۹	+INF
VAR MW	-INF	۰/۴۸۳	+INF
VAR KJPH	-INF	۱/۶۰۰	+INF
VAR KCPH	-INF	۱۸۳۴/۵۸۷	+INF
VAR KJPH	-INF	۷۶۸۱/۰۴۸	+INF

### ۱۱- تحلیل مدل‌ها و ارایه پیشنهاد

#### ۱-۱- مدل سناریوی اول

پاسخ‌های به دست آمده از حل مدل سیستم RFC یک کیلو‌وات به وسیله نرم افزار GAMS و در نظر گرفتن شدت تابش خورشیدی  $650 \text{ W/m}^2$  مورد بررسی قرار گرفته‌اند.

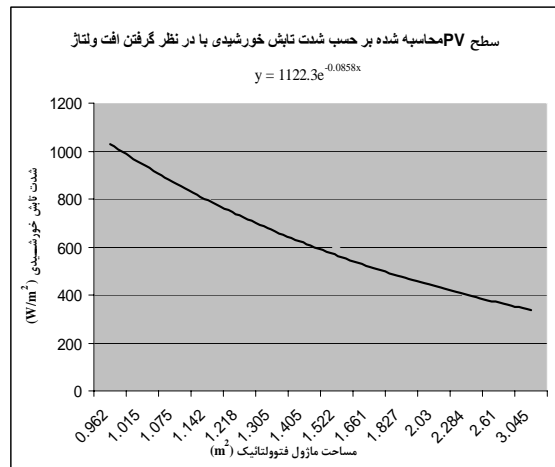
به منظور ارزیابی دقیق پاسخ به دست آمده برای نقطه بهینه طراحی سیستم RFC میزان شدت تابش خورشیدی بر حسب متوسط سالانه ( $\text{W/m}^2$ ) برای عمدۀ مناطق مسکونی کره زمین در نظر گرفته شده است.

از این رو مدل سناریوی اول با در نظر گرفتن ۱۴ عدد شدت تابش خورشیدی مختلف، به وسیله نرم افزار GAMS پیاده سازی شده و پاسخ‌های مربوط به نقطه بهینه طراحی بر حسب مقدار سطح مورد نیاز سلول‌های فتوولتائیک به دست آورده شد.

سطح فتوولتائیک به دست آمده، به میزان (۱۴) عدد در نظر گرفته شده است.

باید توجه داشت که با دقیق در مقادیر  $d_L$  (حد پایین) و  $d_U$  (حد بالا) که در جدول آماره دوربین واتسون درج شده اند، برای هر میزان  $n$  و سطح اطمینان، پس از به دست آوردن  $d$  از فرمول ارایه شده می‌توان در زمینه وجود پارامتر خود همبستگی بحث نمود. حال با توجه به اینکه مقدار  $d$  محاسبه شده برابر  $0/10\ ۲۲۷۴$  می‌باشد و با مراجعه به جدول، میزان  $d_{L=1/36}$  و  $(d_U=1/10.8)$  مشاهده شده است(۱۱)، بنابراین  $d < d_L$  و در نتیجه تقریب حاصل دارای خود همبستگی مثبت می‌باشد. وجود خود همبستگی مثبت بین مقادیر به دست آمده امری قابل پیش‌بینی بود، لذا از این تحلیل انجام گرفته می‌توان اینگونه برداشت نمود که به دلیل وجود مقادیر حداقل و حداکثر در داده‌های آماری ارایه شده – مقادیر در نظر گرفته شده برای شدت تابش خورشیدی – می‌توان صحت معادله به دست آمده برای دامنه تغییرات هر دو مدل عرضه شده را اثبات نمود. محاسبات صورت گرفته بر روی نتایج به دست آمده از مدل‌ها و به دست آمدن آماره دوربین واتسون در جدول ۵ نشان داده شده است.

سناریوی دوم کمتر از نتایج حاصل شده برای متغیرهای گوناگون در مدل سناریوی اول می‌باشند که این موضوع برای طراحی سیستم‌های RFC، قابل پیش‌بینی بوده است. نتایج حاصل از رگرسیون به صورت گراف نتایج آماری حاصل از مدل‌ها و منحنی تغییرات مازولهای فتوولتائیک مدل‌سناریوی دوم در شکل ۳ نمایش داده شده‌اند.



شکل ۳- منحنی تغییرات سطح مازول فتوولتائیک بر حسب شدت تابش خورشیدی در سناریوی دوم

## ۱۲- تحلیل صحت وجود خود همبستگی مدل‌های دو سناریو و ارایه پیشنهادات

با تکمیل نتایج حاصل از جدول آماری مدل‌های سناریوی ۱ و سناریوی ۲ می‌توان صحت انجام محاسبات را با استفاده از منحنی تغییرات سلول‌های P.V. برای مدل‌ها بوسیله تست خود همبستگی<sup>۱</sup> و با استفاده از جدول آماره دوربین-واتسون<sup>۲</sup> ارزیابی نمود. برای این منظور فرضیات زیر مورد نیاز است (۱۱) :

- سطوح اطمینان ۵٪ یا ۱٪ می‌باشند که در اینجا (۰.۵٪) فرض شده است.
- تعداد مشاهدات ( $n$ ) با توجه به جداول به دست آمده و نمونه‌های آماری تهیه شده در مورد مقادیر مختلف شدت تابش خورشیدی و به طبع آن مقادیر متفاوت

1- Auto Correlation  
2- Durbin Watson

به کمک این نرم افزار می‌توان میزان دقیق سطح سلول‌های خورشیدی مورد نیاز واحدهای مصرفی مختلف را با در نظر گرفتن جزئیات کامل طراحی فنی آن‌ها به دست آورد.(۱۲) بنابر این به جهت بررسی صحت پاسخ‌های به دست آمده از حل مدل توسط نرم افزار GAMS، ارقام محاسبه شده برای ولتاژ مورد نیاز الکتروولیز، با توجه به شدت تابش خورشیدی در نظر گرفته شده در مورد نمونه مطالعاتی به عنوان ورودی به نرم افزار PV\*SOL داده شده‌اند. در ضمن سیستم فتوولتائیک، از نوع مستقل از شبکه<sup>۱</sup> در نظر گرفته شده است. با توجه به میزان سطح محاسبه شده توسط نرم افزار PV\*SOL نتایج زیر حاصل گردید:

۱- میزان سطح محاسبه شده توسط نرم افزار  $1/7m^3$  می‌باشد. با توجه به اینکه میزان شدت تابش خورشیدی متوسط سالانه  $W/m^2 = 600 - 500$  در نظر گرفته شد مقایسه آن با پاسخ‌های به دست آمده از حل مدل

$$P_s = 500 \Rightarrow A_{PV} = 1.993 m^2, P_s = 550 \Rightarrow A_{PV} = 1.812 m^2, P_s = 600 \Rightarrow A_{PV} = 1.661 m^2$$

نشانگر آن است که از دقت مناسبی برخوردار می‌باشد.

۲- می‌توان با استفاده همزمان از نرم افزار PV\*SOL و RFC افزار GAMS، نقطه بهینه طراحی سیستم را با دقت بسیار بالایی تعیین نمود. همچنین می‌توان در تحلیل پاسخ‌های به دست آمده از مدل طراحی سیستم مرکب RFC بهره‌گیری نمود.

از این رو استفاده تلفیقی نرم افزارهای طراحی مهندسی با نرم افزارهای آنالیز برنامه ریزی ریاضی به منظور دستیابی به نقطه بهینه طراحی سیستم‌های فنی پیشنهاد می‌گردد.

### ۱۳- جمع‌بندی نتایج

در بهره‌گیری از الگوریتم پیشنهادی سیستم‌های RFC نتایج تحلیل‌ها به شرح ذیل می‌باشند:

۱- مدل سازی بر پایه الگوریتم نوین طراحی، شرایط مطلوبی را جهت دستیابی به نقطه بهینه طراحی و بحث و تحلیل

### جدول-۵- انجام تست خود همبستگی توسط محاسبه

#### آماره دوربین-واتسون

فرمول	$\sum_{i=1}^n (e_i)^2$	$\sum_{i=2}^n (e_i - e_{i-1})^2$	$d = \frac{\sum_{i=2}^n (e_i - e_{i-1})^2}{\sum_{i=1}^n (e_i)^2}$
۱	۹۰۲۵۰۰	۲۵۰۰	۰/۰۰۲۷۷۰۰۶۳
۲	۸۱۰۰۰۰	۲۵۰۰	۰/۰۰۳۰۸۰۶۴۲
۳	۷۲۲۵۰۰	۲۵۰۰	۰/۰۰۳۴۶۰۲۰۸
۴	۶۴۰۰۰۰	۲۵۰۰	۰/۰۰۳۹۰۶۲۵
۵	۵۶۲۵۰۰	۲۵۰۰	۰/۰۰۴۴۴۴۴۴۴
۶	۴۹۰۰۰۰	۲۵۰۰	۰/۰۰۵۱۰۲۰۴۱
۷	۴۲۲۵۰۰	۲۵۰۰	۰/۰۰۵۹۱۷۱۶
۸	۳۶۰۰۰۰	۲۵۰۰	۰/۰۰۶۹۴۴۴۴۴
۹	۳۰۲۵۰۰	۲۵۰۰	۰/۰۰۸۲۶۴۴۶۳
۱۰	۲۵۰۰۰۰	۲۵۰۰	۰/۰۱
۱۱	۲۰۲۵۰۰	۲۵۰۰	۰/۰۱۲۳۴۵۶۷۹
۱۲	۱۶۰۰۰۰	۲۵۰۰	۰/۰۱۵۶۲۵
۱۳	۱۲۲۵۰۰	۲۵۰۰	۰/۰۲۰۴۰۸۱۶۳
۱۴	۹۰۰۰۰	۰	۰
جمع کل	۶۰۳۷۵۰۰	۳۲۵۰۰	۰/۱۰۲۲۷۴۳۵۵

به منظور طراحی مازولهای به کار برده شده در سیستم RFC، استفاده از نرم افزار PV\*SOL پیشنهادمی گردد. از آنجایی که نتایج حاصل از مراحل طراحی یک سیستم RFC در نهایت منجر به دستیابی به میزان سطح مورد نیاز سلول‌های فتوولتائیک برای سیستم می‌گردد، بنابراین، دقت ارقام محاسبه شده در قسمت طراحی مازولهای P.V از اهمیت بسیاری برخوردار است. بدین منظور پیشنهاد می‌گردد با در نظر گرفتن توان الکتریکی درخواستی الکتروولیز جهت تجزیه نمودن حجم معینی از آب که در قسمت‌های قبل حل مسأله محاسبه شده است، با استفاده از نرم افزار PV\*SOL مقدار بهینه سطح فتوولتائیک مورد نیاز سیستم محاسبه می‌شود.

است که بازده سیستم های منفرد P.V در بهترین شرایط عملکردی حدود ۱۴٪ می باشد.

۴- یکی از مجهولات مهم در طراحی سیستم های RFC محاسبه بازده الکتروولیز می باشد. این امر با محاسبه دو میزان بازدهی شدت جریان و بازدهی انرژی و با استفاده از رابطه ای که این دو مقدار را به هم پیوند می دهد و نیز یک مرحله میان یابی به دست می آید. بازده الکتروولیز بر این مبنای  $54/67\%$  به دست آمد.

۵- حل مدل های نرم افزاری برای ۱۴ عدد شدت تابش خورشیدی مختلف و ترسیم نمودارهای پاسخ های حاصل نشان از همبستگی مثبت نتایج به دست آمده دارد. این موضوع با استفاده از تحلیل وجود خود همبستگی و به دست آمدن میزان  $1/0$  برای آماره دوربین-واتسون به اثبات رسید.

۶- بررسی دیگری بر روی میزان دقت نتایج حاصل شده می تواند با بهره گیری از نرم افزار PV\*SOL انجام شود. از این رو، با در نظر گرفتن توان الکتریکی مورد نیاز الکتروولیز جهت تجزیه نمودن حجم معینی از آب و واکد نمودن آن به عنوان پارامتر ورودی، مقدار بهینه سطح فتوولتائیک مورد نیاز سیستم تعیین شد. میزان سطح محاسبه شده توسط  $PV*SOL$   $1/7 m^3$  برای شدت تابش خورشیدی متوسط سالانه  $600 W/m^2$  - $500$  می باشد. مراجعه به جدول پاسخ های به دست آمده از حل مدل های ارایه شده و مقایسه ارقام موجود در آن با سطح P.V. محاسبه شده در این تحلیل، حاکی از دقت مناسب نتایج مدل ها می باشد.

پیرامون پاسخ های به دست آمده از حل نمونه مورد مطالعاتی ( $kW$ ) فراهم نمود. مدل سازی در قالب دو سناریو صورت گرفت. در سناریوی اول، مدل بر طبق الگوی ارایه شده به طراحی سیستم RFC می پردازد. سناریوی دوم بر مبنای مطالعه ای که قبلاً بر روی افت ولتاژ سلول های پیل ساختی PEM صورت گرفته  $V_C = ۰/۷۶۴$  انجام گرفت. روش مدل سازی، برنامه ریزی ریاضی غیر خطی با در نظر گرفتن پارامترها، معادلات و نامعادلات محدودیت در سیستم های RFC می باشد. تابع هدف، حداقل سازی سطح آرایه های P.V. در سیستم در نظر گرفته شد. مدل های حاصل به نرم افزار GAMS داده شد، که از محاسبه گر CONOPT برای حل مدل های مذکور استفاده می نماید. پاسخ های مدل سناریوی اول، میزان  $1/553 m^3$  و مدل سناریوی دوم،  $W/m^2$   $1/405 m^3$  را برای شدت تابش خورشیدی  $650$  نشان می دهند.

۳- مزیت عمده سیستم RFC در مقایسه با سایر سیستم های تبدیل مستقیم انرژی، بحث تولید انرژی داخلی می باشد. با استفاده از روابط اساسی هر یک از بخش های سه گانه در نمونه مورد مطالعاتی ارایه شده، میزان انرژی داخلی تولید شده  $E_p = ۲/۳۰۲ kW$  می باشد.

۳- با توجه به مورد فوق، بهبود قابل ملاحظه بازده سیستم RFC نسبت به حالت استفاده از سیستم های P.V. به صورت منفرد مشاهده گردید. محاسبه بازده در نمونه مورد مطالعاتی بر طبق دو سناریو صورت پذیرفت. در سناریوی اول به کمک بالанс انرژی، بازده کلی سیستم RFC،  $\eta_{RFC}$ ، معدل  $۴۵/۲۹\%$  به دست آمد. در سناریوی دوم با بهره گیری از برآورد چگالی توان از نقطه نظر وزن و توان، بازده  $۵۲/۵\%$  برای سیستم مشاهده می گردد. این امر در حالی

## ۱۴- فهرست علائم و اختصارات به کار رفته در محاسبات

ن شانه	ش رح	و احد
$E$	( $emf =$ ) نیروی محرکه الکتریکی	Volt
$E^\circ$	نیروی محرکه الکتریکی استاندارد	Volt
$E_{in}$	انرژی ورودی	Watt
$E_{out}$	انرژی خروجی	Watt
$E_p$	انرژی داخلی تولید شده	Watt
$P$	توان	Watt
$P_s$	شدت تابش خورشیدی	$W/m^2$
$P_t$	کل توان دریافتی از خورشید	Watt
$V_{oc}$	ولتاژ مدار باز	Volt
$V_c$	اختلاف پتانسیل هر سلول (ولتاژ متوسط هر سلول)	Volt
$V_{el}$	اختلاف پتانسیل الکتروولیز	Volt
$V_o$	ولتاژ خروجی سیستم	Volt
$A$	سطح مفید	$m^2$
$A_{cell}$	سطح سلول	$m^2$
$A_{module}$	سطح مائول	$m^2$
$A_{P.V.}$	سطح آرایه فتوولتائیک	$m^2$
$I_{sc}$	شدت جریان اتصال کوتاه	A
$Q$	حرارت ( انرژی ) آزاد شده	kCal
F.F.	فاکتور پرکندگی	-
$T$	دما	K
$R$	ثابت عمومی گازها	$kJ/kg.K$
$F$	ثابت فارادی ( $9.6487 \times 10^4$ )	$\frac{Coulomb}{Faraday}$
$m$	جرم	kg
$e^-$	بار الکتریکی	Coulomb
$e_t$	داده آماری	-
$d$	آماره دوربین-واتسون	-

$d_U$	حد بالای آماره دوربین-واتسون	-
$d_L$	حد پایین آماره دوربین-واتسون	-
$\eta$	بازده	-
نشانه	شرح	واحد
$\eta_{el}$	بازده الکترولیز	-
$\eta_{FC}$	بازده پیل سوختی	-
$\eta_{RFC}$	بازده پیل سوختی تولید مجدد	-
$P_e$	کل توان پیل سوختی	Watt
$V_{required}$	ولتاژ مورد نیاز الکترولیز	Volt
$M_W$	وزن آب	kg
$T_W$	وزن خالص مخازن ذخیره سازی گاز	kg
$S_W$	وزن خالص استک	kg
$W_W$	وزن خالص مخزن ذخیره آب	kg
$A_W$	وزن خالص تجهیزات جانبی سیستم ها	kg
$V_d$	ولتاژ تخلیه سلول	Volt
$I_d$	شدت جریان میانگین تخلیه	A
$n$	تعداد سلولها در استک	-
$t_d$	زمان تخلیه	hr

## منابع

4. [www.nasa.gov/NASA\\_Dryden\\_Fact\\_Sheet\\_Helios\\_Prototype.htm](http://www.nasa.gov/NASA_Dryden_Fact_Sheet_Helios_Prototype.htm) - NASA - "شبیه سازی طراحی و توسعه مدل بهینه پیل سوختی به کمک برنامه ریزی ریاضی و تحلیل اگزرسی" ، رساله دکتری، دانشگاه آزاد اسلامی واحد علوم و تحقیقات.
5. Ghadamian,H.&Saboochi,Y.,November 2004, "Quantitative analysis of irreversibilities causes voltage drop in fuel cell (simulation & modeling)" ,Volume 50, Issues 2-3, 30 , pp.699-704, ARTICLE Electrochimica Acta.
6. Perry R.H. & Green D., 1984,"Chemical Engineering's Handbook", Editing by 6<sup>th</sup> Edition,Mc Graw-Hill.
1. قدمیان- حسین ، ۱۳۸۳ ، "شبیه سازی طراحی و تحلیل اگزرسی" ، رساله دکتری، دانشگاه آزاد اسلامی واحد علوم و تحقیقات.
2. Ogden J.M& Vielstich W., Lamm A., Gasteiger H.A., 2003,"Hanbook of Fuel Cells",Vol 1-4,Wiley,Chichester,UK.
3. Miltitsky, F. & Myers, B., 1998,"Regenerative Fuel Cell Systems", Vol12 No1, pp.56-71, Energy Fuels journal.

9. Bents, J.D., Scullin, J.V., January 2005, "Hydrogen-Oxygen PEM Regenerative Fuel Cell Energy Storage System", Glenn Research Center, Cleveland, Ohio, NASA/TM.
10. [@LLNL-Technology Profile Unitized Regenerative Fuel Cell.htm">www.llnl.gov/IPandC @LLNL-Technology Profile Unitized Regenerative Fuel Cell.htm](http://www.llnl.gov/IPandC)  
ابریشمی - حمید ، ۱۳۷۷ ، "مبانی اقتصاد سنجی" ، ترجمه، جلد اول و دوم ، انتشارات دانشگاه تهران.
12. [www.valentin.de/index\\_de\\_page=pvsl](http://www.valentin.de/index_de_page=pvsl)
7. "Planing and Installing Photovoltaic Systems (a guid for installers, architects and engineers)", 2006, First published bye James & James (Science Published) Ltd in the UK and USA.
8. Yamaguchi, M. & Shinohara, T., et al. , 1998, "Development Of 2500cm<sup>2</sup> Solid Polymer Electrolyte Water Electrolyzer In WE-NET", pp.0194-240, New Energy Laboratory Fuji Electric Corporate Research and Development, Ltd.2-2-1, Nagasaka, Yokosuka City, Japan.